

Предложена эквивалентная схема усилителя класса D с элементами, обуславливающими создание и распространение кондуктивные помехи. Предложен простой метод получения параметров усилителя для компьютерного моделирования. Выполнено компьютерное моделирование усилителя класса D, содержащего паразитные элементы и подключенного к эквиваленту сети. В компьютерной модели учтены функциональные особенности исследуемого усилителя. Выполнено

сравнение результатов моделирования с экспериментальными данными измерений помех. Результаты моделирования в целом соответствуют экспериментальным данным.

Ключевые слова: компьютерное моделирование, усилитель класса D, электромагнитная совместимость.

Запропонована еквівалентна схема підсилювача класу D з елементами, обуславлівающимі створення і поширення кондуктівниє перешкоди. Запропонований простий метод здобуття параметрів підсилювача для комп'ютерного моделювання. Виконано комп'ютерне моделювання підсилювача класу D, що містить паразитні елементи і підключеного до еквіваленту мережі. У комп'ютерній моделі враховані функціональні особливості досліджуваного підсилювача. Виконано комп'ютерне моделювання підсилювача класу D, що містить паразитні елементи і підключеного до еквіваленту мережі. У комп'ютерній моделі враховані функціональні особливості досліджуваного підсилювача. Виконано порівняння результатів моделювання з експериментальними даними вимірів перешкод. Результати моделювання в цілому відповідають експериментальним даним.

Ключові слова: комп'ютерне моделювання, підсилювач класу D, електромагнітна сумісність.

Введение

Современные усилители мощности класса D по своим акустическим и энергетическим характеристикам успешно конкурируют с линейными усилителями классов A и AB [1]. Ключевой режим работы усилителей класса D обеспечивает наибольшую энергоэффективность, но имеет существенный недостаток: значительный уровень электромагнитных помех (ЭМП), которые распространяются как по гальваническим цепям, так и в виде электромагнитной эмиссии [2].

Обеспечение соответствия усилителей класса D требованиям стандартов в области электромагнитной совместимости может быть достигнуто комплексным применением различных средств помехоподавления. Краткий обзор источников ЭМП и методов их подавления для усилителей класса D приведен в [3]. Возникновение и распространение ЭМП в усилителях класса D обусловлено импульсным режимом работы. На уровень ЭМП, генерируемых усилителями класса D также влияют факторы, связанные с модуляцией усиливаемого сигнала.

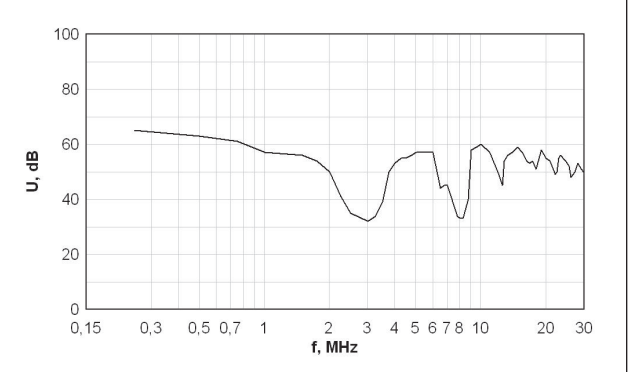
Анализу кондуктивных ЭМП, создаваемых усилителями класса D, посвящены работы [4, 5]. В статье [4] изложены результаты исследований интегрального усилителя в корпусе TQFP. Результаты расчетов практически совпадают с результатами измерений, особенно на низких и средних частотах, но оценка напряжений ЭМП проводилась только для выходного сигнала. В работе [5] использован метод представления пассивных компонентов (выходных фильтров и громкоговорителя) в виде матриц импеданса с последующим их объединением в одну и анализом выходных токов усилителя класса D. Данный метод тоже обладает высокой точностью, но требует измерения импеданса пассивных элементов с помощью дорогостоящего оборудования. Анализ кондуктивных помех, создаваемых интегральными усилителями класса D по цепям питания затруднен также тем, что в выходных каскадах таких усилителей часто используются специальные внутрисистемные средства для снижения уровня генерируемых помех [6, 7]. В статье [8] впервые предпринята попытка компьютерного анализа напряжений ЭМП усилителя класса D, измеренных селективным микровольтметром на выходе эквивалента сети в соответствии со стандартом CISPR 25 автомобильной электроники).

Целью данной статьи является разработка схемной модели усилителя класса D с паразитными параметрами компонентов (конденсаторов, транзисторов и др.), проводов и монтажа для анализа источников и путей распространения ЭМП. Для этого необходимо решить такие задачи - уточнить модель усилителя класса D с паразитными элементами для оценки уровней ЭМП; на ее основе выполнить моделирование уровней помех усилителя класса D, подключенного к эквиваленту сети; сравнить результаты моделирования с экспериментальными данными измерений помех.

Постановка задачи и определение условий компьютерного моделирования

Компьютерное моделирование усилителя класса D с учетом паразитных параметров может быть использовано для прогнозирования уровня генерируемых ЭМП этапе разработки. Моделирование ЭМП усилителей класса D представляется полезным инструментом И позволяет упростить И удешевить процесс обеспечения ЭМС при производстве и отладке.

В настоящей статье предложено уточнение эквивалентной схемы и модели усилителя, подключенного к эквиваленту сети, рассмотренных в [8].

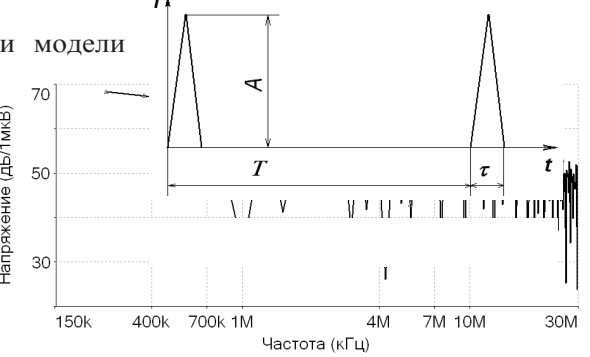


СИЛОВАЯ ЭЛЕКТРОНИКА И ЭЛЕКТРОЭНЕРГЕТИКА

В качестве исходных данных для компьютерного анализа уровней ЭМП в различных условиях работы усилителя использовались результаты измерений, выполненых ранее [9]. На основании экспериментальных данных установлено, что уровень ЭМП усилителя класса D снижается при наличии входного сигнала, но мало зависит от коэффициента нелинейных искажений.

Повышение частоты усиливаемого сигнала снижает на 5-10 дБ уровень ЭМП в области частот до 2МГц.

Таким образом, для оценки эффективности модели режима: выбраны два режим молчания (отсутствия входного сигнала) и режим выходной мощности, равной одной трети номинальной. Во втором случае частота усиливаемого сигнала выбиралась достаточно высокой (10 кГц) для уменьшения количества рассчитываемых гармоник и сокращения времени вычислений и требуемой производительности компьютера. Для компьютерного анализа выбран усилитель на основе интегральной схемы TPA3100D2.



В модели учтено то, что уровень помех усилителя класса D в интегральном исполнении определяется не только токами, протекающими по цепи «выходной транзистор-нагрузка», но и по цепям заряда накопительных конденсаторов (bootstrap capacitors), формирующих для этих транзисторов управляющие напряжения. Также принято во внимание то, что в усилителе введены небольшие «сквозные» токи для снижения помех и нелинейных искажений. В связи с этим проведены измерения уровня ЭМП усилителя класса D без нагрузки. Кривые напряжений помех усилителя класса D с отключенными выходными цепями приведены на рис. 1.

Измерение тока потребления усилителя с помощью датчика тока показало, что наибольший вклад в уровень ЭМП данного усилителя без нагрузки вносят «сквозные» токи и токи заряда накопительных конденсаторов. Длительность этих токов составляет порядка десятка наносекунд, при периоде следования 4 микросекунды.

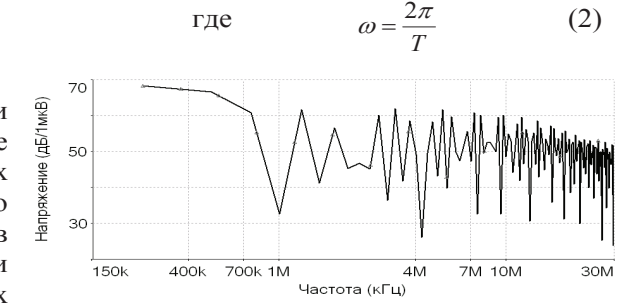
Форму импульсов тока можно аппроксимировать треугольными импульсами, представленными на рис. 2.

Математически последовательность таких импульсов и ее спектр можно описать зависимостями вида [10]:

$$I(t) = A \frac{t}{\tau} rect \left(\frac{t - \tau/2}{\tau} \right) + A \left(t - \frac{\tau}{2} \right) rect \left(\frac{t - \tau/2}{\tau} \right)$$
 (1)

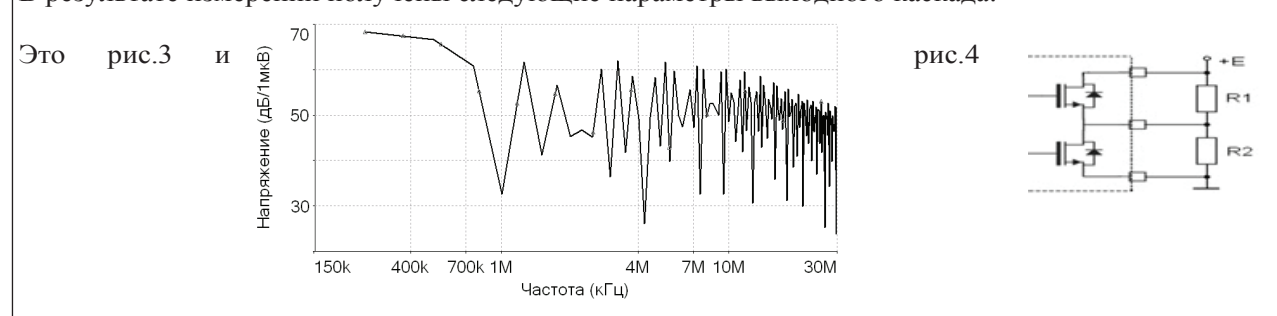
$$I(\omega) = A \tau \left(\frac{\sin\left(\frac{\omega\tau}{2}\right)}{\frac{\omega\tau}{2}} \right),$$

По анализа результатам параметров тока в программе импульсов «Multisim» смоделирован источник помех усилителя класса D без нагрузки, спектр которого представлен на рис. 3. Этот источник добавлен в уточненную модель. Производители характеристики переключения выходных транзисторов (длительности



фронта и длительности спада выходного Рис.3

напряжения). Эти параметры измерены с помощью двух резисторов с минимальной индуктивностью, подключенных между выходом усилителя и полюсами питания. Таким же способом измерены сопротивления сток-исток выходных транзисторов. Измерения проводились при значениях сопротивлений резисторов, равных номинальному сопротивлению нагрузки. Схема измерения параметров выходного каскада усилителя класса D при активной нагрузке представлена на рис.4. В результате измерений получены следующие параметры выходного каскада:



время спада выходного напряжения 120 нс, сопротивление сток-исток транзисторов 0,18 Ом.

Эквивалентная схема усилителя класса D с учетом паразитных параметров. Эквивалентная схема усилителя класса D для анализа ЭМП представлена на рис. 5.

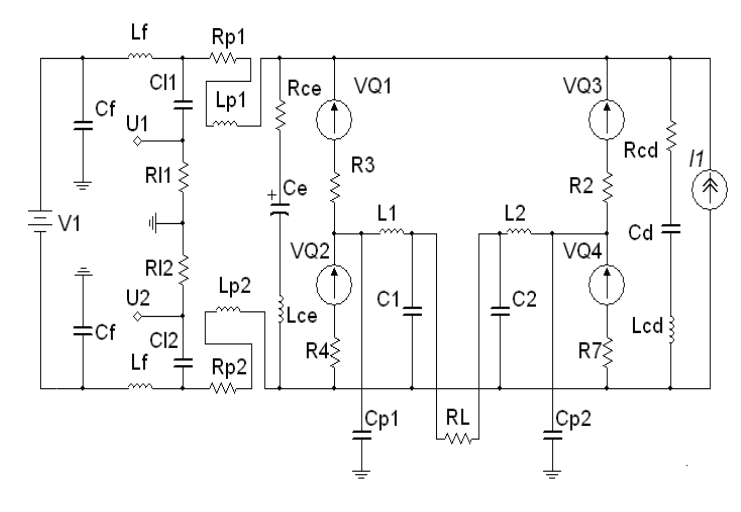


Рис. 5

Эквивалентная схема содержит регулярные элементы усиления сигнала и элементы, которые создают и через которые распространя-ются ЭМП. Регулярными элементами это элементы фильтра L1,C1, L2,C2 и сопротивления нагрузки Рецепторы ЭМП R_{L} . резисторы эквивалента сети R_{11} и R_{12} . Источники VQ1-VQ4 моделируют импульсные напряжения на выходных транзисторах. Источник тока **I**1 моделирует токи помех усилителя без нагрузки. ЭМП распространяются по проводам питания, ДЛЯ учитываются сопротивления R_{p1}, R_{p2} и индуктивности L_{p1} и L_{p2} . Блокирующий

 C_d и электролитический C_e конденсаторы отображены на схеме со своими паразитными параметрами: дросселями L_{ce} , L_{cd} (индуктивность выводов) и резисторами R_{ce} , R_{cd} (внутреннее сопротивление) соответственно. Паразитными элементами являются конденсаторы C_{p1} и C_{p2} – это емкости между выходами усилителя и «землей».

Уточненная модель усилителя класса D с учетом паразитных параметров

Предложенная модель усилителя подключенного к V-образному эквиваленту сети приведена на рис. 6.

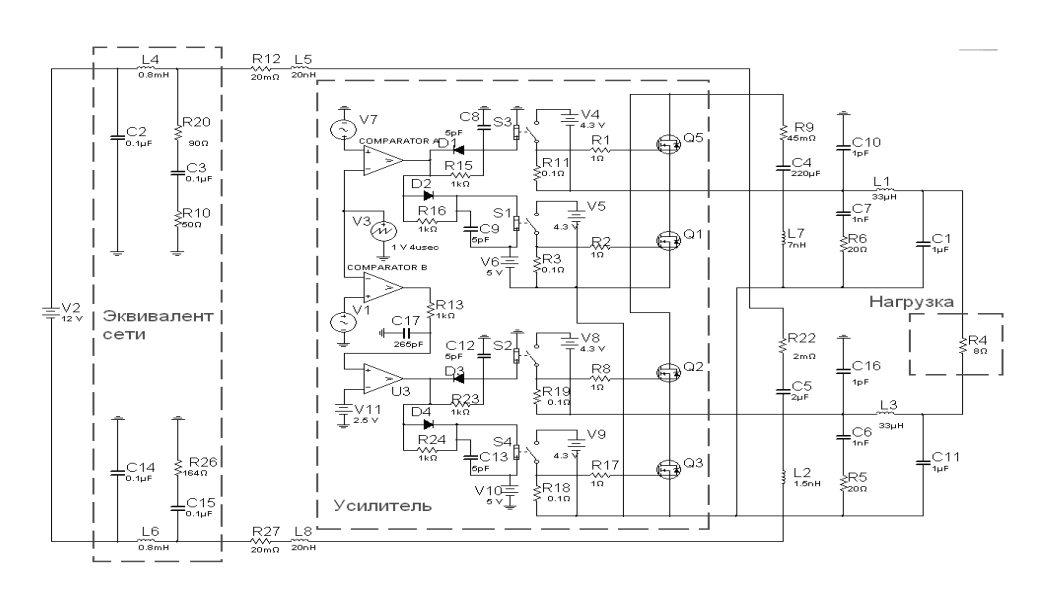
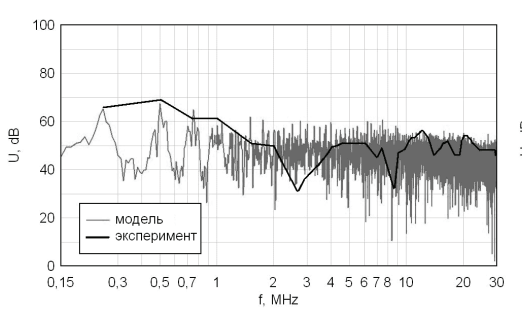


Рис. 6

Модель разрабатывалась в среде Multisim 11. В данной модели учтены паразитные параметры блокирующего и электролитического конденсаторов, индуктивность и сопротивление проводов. Характеристики переключения транзисторов выбраны равными измеренным. Кроме того, в модели реализован режим пониженного выходного тока при отсутствии сигнала, предусмотренный в микросхеме TPA3100D2 [6].

На рис. 7 и рис. 8 представлены полученные в результате моделирования кривые напряжений электромагнитных помех на выходе эквивалента сети. На рис. 7 кривые соответствуют режиму без сигнала на входе усилителя. На рис. 8 кривые соответствует режиму мощности на выходе усилителя равна 6,5 Вт.

СИЛОВАЯ ЭЛЕКТРОНИКА И ЭЛЕКТРОЭНЕРГЕТИКА



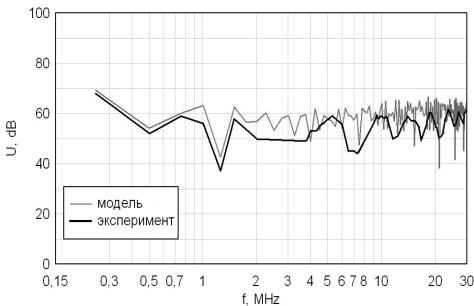


Рис. 7

Анализ зависимостей показывает, что на частотах свыше 4 МГц уровень помех ниже для режима усиления сигнала на некоторых частотах до 6...8 дБ, чем в режиме без сигнала. Кривые, полученные в результате моделирования, отличаются от экспериментальных в среднем не более чем на 8...10 дБ. Это подтверждает обоснованность выбора параметров для данной модели.

Выводы

Предложена эквивалентная схема усилителя класса D, которая содержит элементы, влияющие на создание и распространение кондуктивных помех. Для компьютерного моделирования разработана схемная модель усилителя класса D, содержащая паразитные элементы. Частотные зависимости расчетных и экспериментальных кривых в целом совпадают. В дальнейшем количество параметров, влияющих на уровень ЭМП, будет увеличено, что должно повысить точность моделирования. Это позволит выполнять прогноз электромагнитной обстановки и для других типов усилителей класса D в микросхемном исполнении.

Список литературы

- 1. *Karsten Nielsen* "A novel Audio Power Amplifier Topology with High Efficiency and State-of-the-art performance". 109th *AES* Convention, Los Angeles, USA, 22–25 September 2000
- 2. Интернет-ресурс <u>www.analog.com/-library/analogDialogue/archives/40-06/class_d.pdf</u> Analog Dialogue 40-06, June (2006). Class D Audio Amplifiers: What, Why, and How. By Eric Gaalaas
- 3. Оникиенко Ю. А., Пилинский В. В., Швайченко В. Б. Особенности обеспечения электромагнитной совместимости усилителей мощности класса D/ Технічна електродинаміка. Тем.вип. Силова електроніка і енергоефективність. 2011, Ч.1 С.39–42.
- 4. S. E. Adami, R. Mrad, F. Morel, C. Vollaire, G. Pillonnet, R. Cellier, "Conducted EMI of Integrated Switching Audio Amplifier for Mobile Phone Applications", EMC Compo, nov. 2011
- 5. R. Mrad, F. Morel, G. Pillonnet, C. Vollaire, A. Nagari, "Conducted EMI Prediction for Integrated Class D Audio Amplifier", ICECS, dec. 2011
- 6. Патент США US6614297 'Modulation scheme for filterless switching amplifiers with reduced EMI', 2001
- 7. Патент США US6847257 'Efficient minimum pulse spread spectrum modulation for filterless class D amplifiers', 2005
- 8. Y. Onikienko, V. Pilinsky, D. Probity, V. Shvaychenko, "Simulation of Electromagnetic Environment of Class D Amplifier," ELNANO'2013 IEEE XXXIII International Scientific Conference
- 9. *Оникиенко Ю.А.*, *Пилинский В.В.*, *Швайченко В.Б.* Анализ влияния параметров источника питания и входного сигнала на уровень кондуктивных помех усилителя класса D/ Технічна електродинаміка. Тем.вип. Силова електроніка і енергоефективність. 2012, Ч.1 С.70–74.
- 10. Подавление электромагнитных помех в цепях электропитания/ Г.С. Векслер, В.С. Недочетов, В.В. Пилинский и др. К.: Тэхника, 1990. 167 с.

SIMULATION OF CLASS D AMPLIFIER CONDUCTED INTERFERENCES

Y. Onikienko, V. Pilinsky, V. Shvaichenko Audio Engineering and Registration of Information Department, Faculty of Electronics NTUU "KPI", Kyiv, Ukraine, E-mail: pww@ukr.net

The equivalent circuit of class D amplifier with elements that create and distribute conducted electromagnetic interferences is suggested. SPICE simulation of class D amplifier with parasitic parameters connected to LISN have been realized. The simple method to obtain the parameters of the amplifier are

СИЛОВАЯ ЭЛЕКТРОНИКА И ЭЛЕКТРОЭНЕРГЕТИКА

used. Functional features of the integrated amplifier are incorporated into the simulation model. The results of computer simulation of the interferences measuring are confirmed by experimental data.

Key words: class D amplifiers, electromagnetic compatibility, EMI simulation.

- 1. *Karsten Nielsen* "A novel Audio Power Amplifier Topology with High Efficiency and State-of-the-art performance". 109th *AES* Convention, Los Angeles, USA, 22 25 September 2000
- 2. <u>www.analog.com/-library/analogDialogue/archives/40-06/class_d.pdf</u> Analog Dialogue 40-06, June (2006). Class D Audio Amplifiers: What, Why, and How. By Eric Gaalaas
- 3. *Onikienko Y., Pilinsky V., Shvaychenko V.* "Features of Electromagnetic Compatibility of Class D Power Amplifiers"/ Tekhnichna elektrodynamika. Special Issue. Power Electronics and Energy Efficiency. 2011, Pt.1 P.39–42. (Rus).
- 4. S. E. Adami, R. Mrad, F. Morel, C. Vollaire, G. Pillonnet, R. Cellier, "Conducted EMI of Integrated Switching Audio Amplifier for Mobile Phone Applications", EMC Compo, nov. 2011
- 5. R. Mrad, F. Morel, G. Pillonnet, C. Vollaire, A. Nagari, "Conducted EMI Prediction for Integrated Class D Audio Amplifier", ICECS, dec. 2011
- 6. US patent US6614297 'Modulation scheme for filterless switching amplifiers with reduced EMI', 2001
- 7. US patent US6847257 'Efficient minimum pulse spread spectrum modulation for filterless class D amplifiers', 2005
- 8. Y. Onikienko, V. Pilinsky, D. Probity, V. Shvaychenko, "Simulation of Electromagnetic Environment of Class D Amplifier," ELNANO'2013, IEEE XXXIII International Scientific Conference, 2013
- 9. *Onikienko Y., Pilinsky V., Shvaychenko V.* "Analysis of the Influence of the Power Supply and Input Signal Parameters on the Level of the Conducted Emissions of the Class D Amplifier" / Tekhnichna elektrodynamika. Special Issue. Power Electronics and Energy Efficiency. 2012, Pt.1 P.70–74. (Rus.).
- 10. The Suppression of Electromagnetic Interference in the Power Supply Circuits / G.S. Veksler, V.S. Nedochotov, V.V. Pilinsky etc. Kyiv: Tekhnika, 1990. 167 p. (Rus.).